

# О различных типах граничных условий для одномерного уравнения колебаний

А. М. Рогожников \*  
axelr@mail.ru

## Аннотация

В статье представлен регулярный подход, дающий решение смешанных задач для одномерного волнового уравнения с широким классом граничных условий. Попутно даются описания алгоритмов для вычисления точного решения уравнений и эффективных алгоритмов приближенного решения указанных смешанных задач.

## 1 Введение

Настоящая работа связана с публикацией [9], где автором было получено решение смешанной задачи, описывающей возбуждение продольных колебаний в составном стержне для трех классических типов граничных условий. Было показано [10], что решение может быть модифицировано для исследования продольных колебаний нагруженных составных стержней, т.е. стержней с присоединенными точечными массами.

Актуальной в приложениях задачей является граничное управление колебаниями. Последнее подразумевает нахождение функций граничного управления, переводящих стержень из заданного начального состояния в заданное конечное за фиксированный промежуток времени  $T$ . При достаточно большом времени  $T$  решение задачи не единственно и естественным становится вопрос о нахождении в каком-то смысле оптимального управления. Оптимальность часто понимается в смысле минимизации энергии граничного управления, как это было сделано в работе [11], где на основании решения из работы [9] для частного случая представлен аналитический вид оптимального граничного управления. Последнее удается сделать крайне редко, обычно результат в оптимальном управлении — это численный метод, строящий приближенное решение.

Формулы, описывающие решение смешанной задачи для волнового уравнения, представляют собой весьма универсальный «конструктор», отдельные компоненты которого меняются в соответствии с конкретной задачей: её граничными условиями, количеством отрезков, наличием точечных масс. Настоящая статья призвана внести ясность в часть, связанную с граничными условиями, а также послужить доступным введением в работу с этим «конструктором». Попутно будет продемонстрирована применимость метода к широкому классу граничных условий.

## 2 Классические граничные условия

Начнем исследование с простейшего случая, обычно излагаемого в курсах математической физики, а именно, рассмотрим продольные колебания однородного стержня, расположенного на отрезке  $[x_0, x_1]$ , с линейной плотностью  $\rho$  и модулем Юнга  $k$ . Последние описываются уравнением

$$u_{tt}(x, t) = a^2 u_{xx}(x, t) \quad \text{при } (x, t) \in Q = (x_0, x_1) \times (0, T) \quad (1)$$

---

\*МГУ имени М. В. Ломоносова, факультет ВМК

где  $a = \sqrt{k/\rho}$  — скорость распространения сигнала в стержне. Волновое уравнение (1) было исследовано ещё в XVIII-м веке, тогда же было установлено, что его произвольное решение представимо в виде бегущих волн [12, стр. 55]:

$$u(x, t) = f_1(x - at) + f_2(x + at).$$

В большинстве современных работ ищутся обобщенные решения, принадлежащие таким классам, где уравнение (1) бессмысленно, поскольку производные, входящие в него, не определены. Вместо этого вводится определение *слабого решения*, но в данном очерке для простоты мы эти детали опустим, хотя заметим, что решения смешанных задач, которые будут представлены, являются также и слабыми решениями и будут принадлежать соответствующим классам. Будем далее заниматься поиском классических решений, например, принадлежащих классу  $C^2(Q) \cap C^1(\bar{Q})$ .

Чтобы сконцентрировать наше внимание на граничных условиях, будем считать стержень изначально покоящимся, что соответствует случаю однородных начальных условий.

$$u(x, 0) = 0 \quad u_t(x, 0) = 0 \quad \forall x \in [x_0, x_1] \quad (2)$$

Классическими являются граничные условия следующих трех родов:

1. Управление смещением. На левом и правом концах условие будет иметь вид:

$$u(x_0, t) = \mu(t) \quad u(x_1, t) = \nu(t).$$

В классическом случае функции граничного управления  $\mu(t)$  и  $\nu(t)$  должны быть согласованы с однородными начальными условиями:  $\mu(0) = \nu(0) = \mu'(0) = \nu'(0) = 0$ , однако для слабых решений эти условия необязательны, поэтому на условиях согласования мы тоже не станем заострять внимание, просто полагая их выполненными

2. Управление упругой силой, условие записывается следующим образом:

$$u_x(x_0, t) = \mu(t) \quad u_x(x_1, t) = \nu(t)$$

3. Условия упругого закрепления следующего вида ( $h > 0$ )

$$u_x(x_0, t) - hu(x_0, t) = \mu(t) \quad u_x(x_1, t) + hu(x_1, t) = \nu(t)$$

Разумеется, граничные условия на разных концах могут быть различных типов, более того, никаких ограничений на выбор пар граничных условий нет — конкретные граничные условия должны диктоваться моделью прикладной задачи. Остановим свое внимание на примере конкретной пары граничных условий, например, первого и второго рода:

$$u(x_0, t) = \mu(t) \quad u_x(x_1, t) = \nu(t) \quad (3)$$

Как уже говорилось, решение смешанной задачи (1), (2), (3) раскладывается в сумму бегущих волн, которую мы на сей раз запишем в следующем виде:

$$u(x, t) = U\left(t - \frac{x - x_0}{a}\right) + \tilde{U}\left(t + \frac{x - x_1}{a}\right) \quad (4)$$

Для простоты мы можем считать, что функции  $U(t)$  и  $\tilde{U}(t)$  определены на всей прямой и равны нулю при  $t \leq 0$ , что сразу гарантирует выполнение однородных начальных условий. Запишем, какие условия на функции  $U(t)$  и  $\tilde{U}(t)$  накладывают граничные условия (3):

$$u(x_0, t) = U(t) + \tilde{U}\left(t + \frac{x_0 - x_1}{a}\right) = \mu(t)$$

$$u_x(x_1, t) = \frac{1}{a} \left( -U' \left( t - \frac{x_1 - x_0}{a} \right) + \tilde{U}'(t) \right) = \nu(t)$$

Утверждается, что эти условия могут быть удовлетворены, и притом единственной парой функций  $U(t)$  и  $\tilde{U}(t)$ . Введем обозначение  $t_1 = (x_1 - x_0)/a$  для времени прохождения волны от одного конца стержня до другого и перепишем полученные условия, проинтегрировав второе и приняв во внимание, что  $U(t) = \tilde{U}(t) = 0$  при  $t \leq 0$ :

$$\begin{aligned} U(t) + \tilde{U}(t - t_1) &= \mu(t) \\ -U(t - t_1) + \tilde{U}(t) &= a \int_0^t \nu(\tau) d\tau \end{aligned}$$

и запишем систему в следующем виде:

$$\begin{aligned} U(t) &= -\tilde{U}(t - t_1) + \underline{\mu}(t) \\ \tilde{U}(t) &= U(t - t_1) + \underline{\nu}(t), \end{aligned} \tag{5}$$

где введены обозначения для известных функций в правой части:

$$\underline{\mu}(t) = \begin{cases} 0 & t < 0 \\ \mu(t) & t \geq 0 \end{cases} \quad \underline{\nu}(t) = \begin{cases} 0 & t < 0 \\ a \int_0^t \nu(\tau) d\tau & t \geq 0 \end{cases}$$

Примечательно, что выражения  $\underline{\mu}(t)$  и  $\underline{\nu}(t)$  представляют собой волны, порождаемые граничными условиями. Рассмотрим, например, волновое уравнение на полуоси  $(-\infty, x_1]$ , и избавимся от левого граничного условия, оставив только правое:

$$u_x(x_1, t) = \nu(t),$$

полубесконечный стержень будем снова считать изначально покоящимся. Тогда возбужденные единственным граничным условием колебания будут иметь вид

$$u(x, t) = \underline{\nu} \left( t + \frac{x - x_1}{a} \right),$$

и подобная ситуация является общей: в правой части системы (5) (или аналогичной ей) будут находиться функции, описывающие волны, порожденные отдельными локальными граничными условиями. Решение системы с задержками (5), как и многих других схожих систем неявно было получено академиком В.А. Ильиным, академиком Е.И. Моисеевым и их учениками при рассмотрении различных пар граничных условий (см. например обзорную работу [2]), однако до настоящего времени регулярной процедуры решения предложено не было. Излагаемый далее метод решения претендует на регулярность и опирается на следующие определения:

**Определение 1.** Введем  $V$  — линейное пространство непрерывных вещественнозначных функций, заданных на  $\mathbb{R}$ , и обращающихся в нуль при  $t < t_0$ , где величина  $t_0$  может быть различна у разных функций.

**Определение 2.** Линейное пространство, состоящее из векторов с элементами из  $V$ , обозначим через  $V^n$ .

**Определение 3.** Введем оператор задержки  $P_\tau$  ( $\tau \in \mathbb{R}$  — время задержки), действующий в пространстве  $V$  следующим образом:

$$(P_\tau f)(t) = f(t - \tau) \quad \forall f \in V$$

**Пример 1.** Следующие функции принадлежат  $V$ :  $f_1(t) = \theta(t) \sin(t)$ ,  $f_2(t) = \theta(t) t \cos(t)$ ,  $f_3(t) = 0$  (здесь  $\theta(t)$  — функция Хевисайда), также справедливо

$$\begin{bmatrix} f_1 \\ f_2 \\ f_3 \end{bmatrix}, \begin{bmatrix} f_1 + f_2 \\ 0 \\ f_3 - 2f_2 \end{bmatrix} \in V^3.$$

Обратим внимание, что аргумент функции не пишется, если она рассматривается как элемент пространства  $V$ . Запишем систему (5) в новых терминах:

$$\begin{aligned} U &= -P_{t_1} \tilde{U} + \underline{\mu} \\ \tilde{U} &= P_{t_1} U + \underline{\nu}. \end{aligned}$$

Введя оператор  $C$ , действующий в пространстве  $V^2$ :

$$C \begin{bmatrix} U \\ \tilde{U} \end{bmatrix} = \begin{bmatrix} -P_{t_1} \tilde{U} \\ P_{t_1} U \end{bmatrix},$$

снова упростим систему ( $E$  — тождественный оператор):

$$(E - C) \begin{bmatrix} U \\ \tilde{U} \end{bmatrix} = \begin{bmatrix} \underline{\mu} \\ \underline{\nu} \end{bmatrix} \quad (6)$$

Если бы, например, оператор  $C$  был сжимающим, и пространство  $V^2$  было бы полным, решение можно было бы записать в виде ряда Неймана

$$\begin{bmatrix} U \\ \tilde{U} \end{bmatrix} = \sum_{m=0}^{+\infty} C^m \begin{bmatrix} \underline{\mu} \\ \underline{\nu} \end{bmatrix}. \quad (7)$$

Нетрудно убедиться, что после введения следующей метрики на  $V^n$ , оба эти условия будут выполнены:

$$\rho_n(x, y) = \sum_{i=1}^n \rho(x_i, y_i) \quad \forall x, y \in V^n,$$

где  $\rho(x, y)$  — метрика на пространстве  $V$ , заданная следующим образом:

$$\rho(f, g) = \begin{cases} 0 & \text{при } f = g \\ e^{-t_{min}} & \text{иначе, здесь } t_{min} = \inf\{t \mid t \in \mathbb{R}, f(t) \neq g(t)\}, \end{cases}$$

более того, ряд, стоящий в правой части (7) будет сходиться в этой метрике. Смысл такой сходимости в следующем: если  $\rho_n(x_m, x) \rightarrow 0$  при  $m \rightarrow +\infty$ , то для любой заданной полуоси  $(-\infty, t_0]$  начиная с некоторого номера  $M(t_0)$  векторы  $x_m$  и  $x$  начнут совпадать на этой полуоси. Это свойство позволяет заключить, что на промежутке  $[0, T]$  функции  $U$  и  $\tilde{U}$  задаются конечным числом слагаемых ряда, стоящего в правой части (7). Зная конкретный вид оператора  $C$ , можно заключить, что слагаемые с  $m \geq [T/t_1]$  уже не дают вклад.

Полученное решение можно привести к более привычному виду, однако мы этого делать не будем. Формула (7) дает один из способов **точного** вычисления решения (правда при известной функции  $\underline{\nu}(t)$ , но последняя может быть получена весьма точно при помощи численного интегрирования). Ряд, фигурирующий в правой части, надо ограничить до первых  $[T/t_1]$  членов, и в них раскрыть степени оператора  $C$ , которые в данном случае будут иметь довольно простой вид. Другой способ, тоже дающий точный ответ, значительно проще реализуется на ЭВМ, и состоит в использовании формулы (5), которая позволяет свести вычисление  $U(t)$  к вычислению  $\tilde{U}(t - t_1)$ , а вычисление  $\tilde{U}(t)$  к  $U(t - t_1)$ . В результате мы получаем цепочку рекурсивных вызовов, которая обрывается при  $t < 0$ : как мы договорились, функции  $U(t)$  и  $\tilde{U}(t)$  обращаются в нуль при  $t < t_0$ . К вопросу вычислений мы ещё вернемся.

### 3 Граничные условия третьего рода

В качестве второго примера рассмотрим систему с двумя граничными условиями третьего рода (при  $h_1, h_2 > 0$ )

$$u_x(x_0, t) - h_1 u(x_0, t) = \mu(t) \quad u_x(x_1, t) + h_2 u(x_1, t) = \nu(t).$$

Решение снова представляется в виде бегущих волн (4). Накладываемые граничными условиями ограничения на функции  $U(t)$  и  $\tilde{U}(t)$  выглядят следующим образом:

$$u_x(x_0, t) - h_1 u(x_0, t) = \frac{1}{a} \left( -U'(t) + \tilde{U}'(t - t_1) \right) - h_1 \left( U(t) + \tilde{U}(t - t_1) \right) = \mu(t)$$

$$u_x(x_1, t) + h_2 u(x_1, t) = \frac{1}{a} \left( -U'(t - t_1) + \tilde{U}'(t) \right) + h_2 \left( U(t - t_1) + \tilde{U}(t) \right) = \nu(t)$$

Проинтегрировав получившиеся дифференциальные уравнения первого порядка, получим:

$$U(t) = \tilde{U}(t - t_1) + \int_0^t \left( -2h_1 a \tilde{U}(t - t_1 - \tau) - a\mu(t - \tau) \right) e^{-h_1 a \tau} d\tau$$

$$\tilde{U}(t) = U(t - t_1) + \int_0^t \left( -2h_2 a U(t - t_1 - \tau) + a\nu(t - \tau) \right) e^{-h_2 a \tau} d\tau$$

Продолжим функции  $\mu(t)$  и  $\nu(t)$  нулем при  $t < 0$ , тогда эти выражения можно значительно упростить, используя операцию свертки:

$$\begin{aligned} U &= P_{t_1} \left( \tilde{U} - 2h_1 a \tilde{U} * \theta(t) e^{-h_1 a t} \right) - a\mu * \theta(t) e^{-h_1 a t} \\ \tilde{U} &= P_{t_1} \left( U - 2h_2 a U * \theta(t) e^{-h_2 a t} \right) + a\nu * \theta(t) e^{-h_2 a t} \end{aligned}$$

Снова обозначим фигурирующие в правых частях известные функции через  $\underline{\mu}$  и  $\underline{\nu}$ :

$$\underline{\mu} = -a\mu * \theta(t) e^{-h_1 a t} \quad \underline{\nu} = a\nu * \theta(t) e^{-h_2 a t}$$

Также введем оператор эха  $E_\beta$ , который строит по приходящей волне отраженную при граничном условии третьего рода:

$$E_\beta f = f - 2\beta f * \theta(t) e^{-\beta t} \quad f \in V, \beta > 0,$$

тогда уравнения можно записать следующим образом:

$$\begin{aligned} U &= P_{t_1} E_{h_1 a} \tilde{U} + \underline{\mu} \\ \tilde{U} &= P_{t_1} E_{h_2 a} U + \underline{\nu} \end{aligned}$$

Снова можно ввести оператор  $C$  и, убедившись, что он сжимающий, записать с его помощью решение:

$$C \begin{bmatrix} U \\ \tilde{U} \end{bmatrix} = \begin{bmatrix} P_{t_1} E_{h_1 a} \tilde{U} \\ P_{t_1} E_{h_2 a} U \end{bmatrix} \Rightarrow \begin{bmatrix} U \\ \tilde{U} \end{bmatrix} = \sum_{m=0}^{+\infty} C^m \begin{bmatrix} \underline{\mu} \\ \underline{\nu} \end{bmatrix}.$$

Подобная техника позволяет, например, получить решения смешанных задач, рассмотренных в [4, 7, 6].

## 4 Граничные условия с участием скорости на конце

Часто также в приложениях используются локальные граничные условия, в которых фигурирует значение скорости. Например, граничное условие

$$u_t(x_0, t) - au_x(x_0, t) = 0 \quad (8)$$

называется поглощающим, поскольку полностью поглощает волну, пришедшую в левый конец. В вычислительных приложениях подобные условия нужны для возможности ограничить моделируемую часть пространства — при этом волны, которые должны покинуть регион, будут просто поглощены. Иные граничные условия при этом породили бы нежелательную отраженную волну. В модельных задачах (см., например, [13]) также используется условие

$$u_t(x_0, t) + cu_x(x_0, t) = 0 \quad 0 < c < a,$$

которое отражает волну, увеличивая её амплитуду в  $\frac{a+c}{a-c}$  раз. Рассмотрим линейные условия с участием функции и её первых производных:

$$\begin{aligned} u_t(x_0, t) + c_1 u_x(x_0, t) + h_1 u(x_0, t) &= \mu(t) \\ u_t(x_1, t) - c_2 u_x(x_1, t) + h_2 u(x_1, t) &= \nu(t). \end{aligned}$$

Проводя дальнейшие рассуждения как в случае граничных условий третьего рода, получим:

$$\begin{aligned} U'(t) \left(1 - \frac{c_1}{a}\right) + h_1 U(t) + \tilde{U}'(t - t_1) \left(1 + \frac{c_1}{a}\right) + h_1 \tilde{U}(t - t_1) &= \mu(t) \\ \tilde{U}'(t) \left(1 - \frac{c_2}{a}\right) + h_2 \tilde{U}(t) + U'(t - t_1) \left(1 + \frac{c_2}{a}\right) + h_2 U(t - t_1) &= \nu(t) \end{aligned}$$

Чтобы уравнения имели ограниченные решения, потребуем выполнения  $c_1 < a$ ,  $c_2 < a$ . Обозначим  $\alpha_1 = \frac{a}{a - c_1}$ ,  $\alpha_2 = \frac{a}{a - c_2}$ , перепишем систему

$$\begin{aligned} U'(t) + \alpha_1 h_1 U(t) &= \alpha_1 \mu(t) - \alpha_1 \left(1 + \frac{c_1}{a}\right) \tilde{U}'(t - t_1) - \alpha_1 h_1 \tilde{U}(t - t_1) \\ \tilde{U}'(t) + \alpha_2 h_2 \tilde{U}(t) &= \alpha_2 \nu(t) - \alpha_2 \left(1 + \frac{c_2}{a}\right) U'(t - t_1) - \alpha_2 h_2 U(t - t_2) \end{aligned}$$

и запишем решение (для второго уравнения аналогично):

$$U = P_{t_1} \left( \alpha_1^2 h_1 \left(1 + \frac{c_1}{a}\right) - \alpha_1 h_1 \right) \tilde{U} * \theta(t) e^{-\alpha_1 h_1 t} - \alpha_1 \left(1 + \frac{c_1}{a}\right) P_{t_1} \tilde{U} + \alpha_1 \mu * \theta(t) e^{-\alpha_1 h_1 t}$$

Таким образом, решение снова может быть выписано в виде ряда Неймана (7) с оператором (здесь  $c_i$  — легко восстанавливаемые константы)

$$C \begin{bmatrix} U \\ \tilde{U} \end{bmatrix} = \begin{bmatrix} c_1 P_{t_1} \tilde{U} * \theta(t) e^{-\alpha_1 h_1 t} + c_2 P_{t_1} \tilde{U} \\ c_3 P_{t_1} U * \theta(t) e^{-\alpha_2 h_2 t} + c_4 P_{t_1} U \end{bmatrix},$$

и порожденными граничными управлениями волнами

$$\underline{\mu} = \alpha_1 \mu * \theta(t) e^{-\alpha_1 h_1 t} \quad \underline{\nu} = \alpha_2 \nu * \theta(t) e^{-\alpha_2 h_2 t}.$$

## 5 Нагруженные концы

Концы с прикрепленными точечными грузиками представляют ещё один распространенный класс граничных условий. Представим, что на концах стержня находятся точечные грузики с массами  $m_1$  и  $m_2$ , при этом с левого конца управление происходит при помощи силы, а на правом конце имеется упругое закрепление:

$$\begin{aligned}ku_x(x_0, t) - m_1 u_{tt}(x_0, t) &= \mu(t) \\ku_x(x_1, t) + hu(x_1, t) + m_2 u_{tt}(x_1, t) &= \nu(t).\end{aligned}$$

Получаемые уравнения на функции волн уже второго порядка:

$$\begin{aligned}\frac{k}{a}(-U'(t) + \tilde{U}'(t - t_1)) - m_1(U''(t) + \tilde{U}''(t - t_1)) &= \mu(t) \\ \frac{k}{a}(\tilde{U}'(t) - U'(t - t_1)) + h(\tilde{U}(t) + U(t - t_1)) + m_2(\tilde{U}''(t) + U''(t - t_1)) &= \nu(t)\end{aligned}$$

Проинтегрируем, например, первое уравнение:

$$\begin{aligned}U'(t) + \frac{k}{am_1}U(t) &= -\frac{1}{m_1} \int_0^t \mu(\tau) d\tau - \tilde{U}'(t - t_1) + \frac{k}{am_1} \tilde{U}(t - t_1) \\ U &= -\frac{1}{m_1} \theta(t) e^{-\frac{k}{am_1}t} * \int_0^t \mu(\tau) d\tau + P_{t_1} \left[ -\tilde{U}' + \frac{k}{am_1} \tilde{U} \right] * \theta(t) e^{-\frac{k}{am_1}t}\end{aligned}$$

Здесь мы воспользовались следующим свойством свертки:  $P_\tau(f * g) = (P_\tau f) * g = f * (P_\tau g)$ . Возможность перебрасывать производные в свертке, а также представление  $\int_0^t \mu(\tau) d\tau = \theta(t) * \mu(t)$  позволяют упростить выражение:

$$\begin{aligned}U &= \frac{a}{k} \left[ e^{-\frac{kt}{am_1}} - 1 \right] \theta(t) * \mu + P_{t_1} \left[ -\tilde{U} + 2\frac{k}{am_1} \tilde{U} * \theta(t) e^{-\frac{k}{am_1}t} \right] = \\ &= -P_{t_1} E_{\frac{k}{am_1}} \tilde{U} + \frac{a}{k} \left[ e^{-\frac{kt}{am_1}} - 1 \right] \theta(t) * \mu\end{aligned}$$

Решение второго уравнения несколько более громоздко, однако получающийся в результате оператор  $C$  будет сжимающим.

## 6 Нелокальные граничные условия

Рассмотрим нелокальные граничные условия, наиболее простой пример которых — граничные условия Бицадзе–Самарского (см. [1]). Эти условия, связывающие значение функции на конце и в фиксированной внутренней точке стержня  $y_0$ , могут принимать на левом конце следующий вид:

$$\begin{aligned}u(x_0, t) &= u(y_0, t) & u(x_0, t) &= -u(y_0, t) \\ u_x(x_0, t) &= u_x(y_0, t) & u_x(x_0, t) &= -u_x(y_0, t).\end{aligned}$$

Рассмотрим обобщения этого условия, т.н. многоточечные нелокальные граничные условия (здесь  $y_i \in (x_0, x_1)$  — внутренние точки):

$$\begin{aligned}u(x_0, t) &= \sum_{i=1}^I c_i u(y_i, t) + \mu(t) \\ u_x(x_0, t) &= \sum_{i=1}^I c_i u_x(y_i, t) + \mu(t)\end{aligned}$$

В качестве конкретного примера рассмотрим следующую пару условий:

$$u(x_0, t) = \sum_{i=1}^I c_i u(y_i, t) + \mu(t) \quad u_x(x_1, t) = \sum_{j=1}^J d_j u_x(z_j, t) + \nu(t),$$

которая приводит к системе

$$\begin{aligned} U(t) + \tilde{U}(t - t_1) &= \sum_{i=1}^I c_i \left( U\left(t - \frac{y_i - x_0}{a}\right) + \tilde{U}\left(t + \frac{y_i - x_1}{a}\right) \right) + \mu(t) \\ \tilde{U}(t) - U(t - t_1) &= \sum_{j=1}^J d_j \left( \tilde{U}\left(t + \frac{z_j - x_1}{a}\right) - U\left(t - \frac{z_j - x_0}{a}\right) \right) + \int_0^t a\nu(\tau) d\tau \end{aligned} \quad (9)$$

Последнюю можно переписать в короткой форме (6), введя обозначения:

$$\underline{\mu}(t) = \begin{cases} 0, & t < 0 \\ \mu(t), & t \geq 0 \end{cases} \quad \underline{\nu}(t) = \begin{cases} 0, & t < 0 \\ a \int_0^t \nu(\tau) d\tau, & t \geq 0 \end{cases} \quad (10)$$

$$C \begin{bmatrix} U \\ \tilde{U} \end{bmatrix} = \begin{bmatrix} \sum_{i=1}^I c_i (P_{y_i^-} U + P_{y_i^+} \tilde{U}) - P_{t_1} \tilde{U} \\ \sum_{j=1}^J d_j (-P_{z_j^-} U + P_{z_j^+} \tilde{U}) + P_{t_1} U \end{bmatrix}, \quad (11)$$

где  $y^- = \frac{y - x_0}{a}$ ,  $y^+ = \frac{x_1 - y}{a}$  — время прохождения сигнала от некоторой точки  $y$  до левого и правого концов стержня соответственно. Нетрудно убедиться, что оператор  $C$  снова сжимающий, и снова ответ может быть выписан в форме ряда (7).

Численное решение может быть получено раскрытием степеней оператора  $C$  (последнее приведет к алгоритму, аналогичному представленному в работе [3]), но более простой в плане реализации метод состоит в использовании соотношений (9), которые позволяют свести вычисление  $U$  и  $\tilde{U}$  к ним же, но с меньшими аргументами. Краевым условием, не позволяющим впасть в бесконечную рекурсию, опять выступает  $U(t) = \tilde{U}(t) = 0$  при  $t < 0$ . Наивная реализация этого алгоритма имеет экспоненциальную по  $T$  сложность, небольшой модификацией можно добиться, чтобы его сложность стала  $O(t^{I+J+1})$ , однако последнее также неприемлемо для приложений.

Поэтому приходится отказаться от точного нахождения решения и проводить вычисление функций  $U$  и  $\tilde{U}$  на решетке используя все те же соотношения (9) и интерполируя выражения в правых частях.

Перечисленными примерами, разумеется, нелокальные условия не исчерпываются. Например, может быть рассмотрено следующее условие на левом конце:

$$c_0 u_t(x_0, t) + d_0 u_x(x_0, t) + h_0 u(x_0, t) + \sum_{i=1}^I (c_i u_t(y_i, t) + d_i u_x(y_i, t) + h_i u(y_i, t)) = \mu(t) \quad (12)$$

смешанная задача с таким условием решается ровно так же (просто), как и предыдущие примеры. Отметим, что коэффициенты, участвующие в (12), не совсем произвольны: физические соображения требуют наличия ограниченных решений (это ограничение может быть записано как  $(ac_0 - d_0)h_0 \geq 0$ ). Второе ограничение: при  $ac_0 = d_0$ , т.е. когда коэффициент при  $U'(t)$  в получающемся уравнении обнулится, необходимо потребовать, чтобы никакие другие производные также не входили в уравнение, что с неизбежностью влечет  $c_i = d_i = 0$  при  $i = 0, 1, \dots, I$ , в противном случае решение потеряет гладкость и мы не сможем включить его в какой-нибудь разумный класс.



Поскольку вместо двумерной сетки вычисления во всех приведенных случаях проводятся на одномерной, то производительность таких алгоритмов будет неизмеримо выше, чем у распространенного метода конечных разностей. Можно показать, что точность при одинаковом шаге по времени  $\tau$  также при этом будет выше.

## 7 Нелокальные по времени условия

В выражении для граничного условия можно включить также слагаемые со значениями функции  $u(x, t)$  или её производных в разные моменты времени, к примеру, условие

$$u(x_0, t) = cu(y_1, t - \tau_1) \quad y_1 \in (x_0, x_1), \tau_1 > 0$$

связывает значение функции на левом конце и значение во внутренней точке в предшествующий момент времени. Аппроксимация поглощающего граничного условия (8)

$$u(x_0 + a\varepsilon, t - \varepsilon) - u(x_0, t) = 0 \quad \varepsilon > 0 - \text{малое}$$

может рассматриваться как простейшее управление при граничном условии первого рода, когда в качестве управления выбирается функция  $\mu(t) = u(x_0 + a\varepsilon, t - \varepsilon)$ , значения которой получаются из непосредственного наблюдения за стержнем в точке  $x_0 + a\varepsilon$ , близкой к концу стержня. Рассмотрим, например, следующую пару условий:

$$\begin{aligned} u(x_0, t) &= \sum_{i=1}^I c_i u(y_i, t - \tau_i) + \mu(t) \\ u_x(x_1, t) &= \sum_{i=1}^I d_i u_x(y_i, t - \tau_i) + \nu(t). \end{aligned} \quad (13)$$

Представив, как и ранее, решение в виде бегущих волн, придем к системе

$$\begin{aligned} U(t) + \tilde{U}(t - t_1) &= \sum_{i=1}^I c_i \left( U(t - y_i^- - \tau_i) + \tilde{U}(t - y_i^+ - \tau_i) \right) + \mu(t) \\ \tilde{U}(t) - U(t - t_1) &= \sum_{i=1}^I d_i \left( \tilde{U}(t - y_i^+ - \tau_i) - U(t - y_i^- - \tau_i) \right) + \int_0^t a\nu(\tau) d\tau, \end{aligned}$$

решение которой, разумеется, снова можно представить в виде ряда Неймана с порожденными граничными волнами (10) и оператором  $C$ , который выписывается по формуле, аналогичной (11):

$$C \begin{bmatrix} U \\ \tilde{U} \end{bmatrix} = \begin{bmatrix} \sum_{i=1}^I c_i \left( P_{y_i^- + \tau_i} U + P_{y_i^+ + \tau_i} \tilde{U} \right) - P_{t_1} \tilde{U} \\ \sum_{i=1}^I d_i \left( -P_{y_i^- + \tau_i} U + P_{y_i^+ + \tau_i} \tilde{U} \right) + P_{t_1} U \end{bmatrix}.$$

Здесь стоит отметить, что совершенно необязательно требовать, чтобы величины  $\tau_i$  были неотрицательными. Чтобы оператор  $C$  был сжимающим, достаточно выполнения неравенств  $y_i^- + \tau_i > 0$  и  $y_i^+ + \tau_i > 0$ , т.е. чтобы пары величин  $(y_i, \tau_i)$  лежали в области, изображенной на рисунке 1. Случай  $\tau_i < 0$  является нефизичным, поскольку в граничном условии фигурируют «данные из будущего». Тем не менее, если считать, что решение определено при  $t > 0$ , оно дает корректную постановку. Объяснить это можно следующим образом: для решений волнового уравнения справедливо равенство

$$u(y_1, t_1) + u(y_3, t_3) = u(y_2, t_2) + u(y_4, t_4), \quad (14)$$

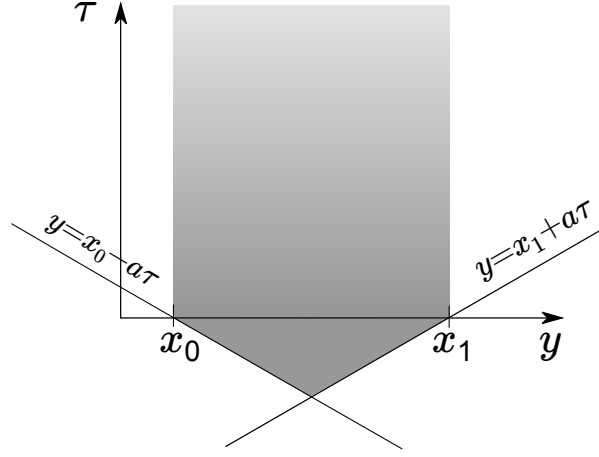


Рис. 1: Допустимые значения  $(y, \tau)$

если точки  $(y_1, t_1)$ ,  $(y_2, t_2)$ ,  $(y_3, t_3)$  и  $(y_4, t_4)$  образуют параллелограмм со сторонами, параллельными характеристикам волнового уравнения. Тогда слагаемое с  $\tau_i < 0$  в граничном условии можно заменить на три, но с  $\tau_i \geq 0$  у каждого. На самом деле почти любые комбинации

$$\sum_{i=1}^I c_i u(y_i, t - \tau_i) = 0$$

могут играть роль граничного условия, хотя, казалось бы, значение функции на конце не входит в выражение. Однако используя (14), можно преобразовать условие к выражению вида (13).

## 8 Интегральные условия

Не последнюю роль играют условия, в которые входят интегралы. Простейший пример — интегральное условие с памятью, например:

$$u(x_0, t) + \int_0^t u_x(x_0, \tau) s(t - \tau) d\tau = \mu(t),$$

где  $s(t)$  — заданная функция, определенная и непрерывно-дифференцируемая при  $t \geq 0$ . Доопределим её нулем при  $t < 0$ , тогда

$$U + P_{t_1} \tilde{U} + \frac{1}{a} (-U' + P_{t_1} \tilde{U}') * s = \mu.$$

Воспользовавшись свойством дифференцирования свертки, можем записать как

$$\left(1 - \frac{s(0)}{a}\right) U - U * \frac{s'}{a} = \mu - \left(1 + \frac{s(0)}{a}\right) P_{t_1} \tilde{U} - \frac{1}{a} P_{t_1} \tilde{U} * s', \quad (15)$$

где под  $s'$  подразумевается классическая производная. При  $s(0) < a$  последняя формула является интегральным уравнением Вольтерра второго рода относительно неизвестной функции  $U$  с разностным ядром. Последнее решается, например, через преобразование Лапласа, его запаздывающее фундаментальное решение<sup>1</sup>  $G$  для уравнения (15) удовлетворяет равенству

$$\left[\left(1 - \frac{s(0)}{a}\right) \delta - \frac{s'}{a}\right] * G = \delta,$$

<sup>1</sup> $G$ , вообще говоря, является обобщенной функцией, однако представима в виде линейной комбинации дельта-функции и регулярной функции

в котором два раза участвует дельта-функция Дирака. Решение же записывается с его помощью:

$$U = \mu * G - \left(1 + \frac{s(0)}{a}\right) P_{t_1} \tilde{U} * G - \frac{1}{a} P_{t_1} \tilde{U} * s' * G.$$

Имея второе граничное условие, мы получим ещё одно соотношение на функции  $U$  и  $\tilde{U}$ , после чего решение представим в виде (7) со сжимающим оператором  $C$ .

Также интерес представляют **нелокальные интегральные условия**, например условие Самарского (см. [5, стр. 140]) вида  $\int_{x_0}^{x_1} u(x, t) dx = 0$ , более общий вид которого (например, встречается в [8]):

$$\int_{x_0}^{x_1} K(x) u(x, t) dx = \mu(t) \quad (16)$$

также несложно исследовать. Подставив решение в виде бегущих волн, получим

$$\begin{aligned} \mu(t) &= \int_{x_0}^{x_1} K(x) \left[ U\left(t - \frac{x - x_0}{a}\right) + \tilde{U}\left(t + \frac{x - x_1}{a}\right) \right] dx = \\ &= a \int_0^{t_1} K(x_0 + a\tau) U(t - \tau) d\tau + a \int_0^{t_1} K(x_1 - a\tau) \tilde{U}(t - \tau) dx = U * K_1 + \tilde{U} * K_2, \end{aligned}$$

введя дополнительно обозначения

$$K_1(t) = \begin{cases} aK(x_0 + at) & t \in [0, t_1] \\ 0 & t \notin [0, t_1] \end{cases} \quad K_2(t) = \begin{cases} aK(x_1 - at) & t \in [0, t_1] \\ 0 & t \notin [0, t_1] \end{cases}$$

и продолжив  $\mu(t)$  нулем при  $t < 0$ , можем записать кратко

$$U * K_1 + \tilde{U} * K_2 = \mu,$$

что является<sup>2</sup> уравнением Вольтерра первого рода с разностным ядром относительно  $U$ :

$$U * K_1 = \mu - \tilde{U} * K_2.$$

Предположим, что мы знаем его запаздывающее фундаментальное решение  $G$ , удовлетворяющее соотношению  $K_1 * G = \delta$ . В таком случае

$$U = \mu * G - \tilde{U} * K_2 * G.$$

Обратим внимание, что оператор  $f(\tilde{U}) = \mu * G - \tilde{U} * K_2 * G$  не является сжимающим во введенной метрике  $\rho$ , поэтому при наличии двух подобных условий сходимость ряда Неймана надо будет отдельно обосновывать. Если же, например, на правом конце поставлено условие Дирихле  $u(x_1, t) = \nu(t)$ , то также имеется соотношение  $\tilde{U} + P_{t_1} U = \nu$  (функцию  $\nu$  также продолжим нулем при  $t < 0$ ). Запишем их вместе:

$$\begin{aligned} U &= -K_2 * G * \tilde{U} + \mu * G \\ \tilde{U} &= -P_{t_1} U + \nu \end{aligned} \quad (17)$$

<sup>2</sup>Если бы в граничном условии (16) было слагаемое  $u(x_0, t)$ , мы бы снова получили уравнение Вольтерра второго рода.

Попытка непосредственно повторить уже привычные рассуждения и ввести оператор

$$C \begin{bmatrix} U \\ \tilde{U} \end{bmatrix} = \begin{bmatrix} -K_2 * G * \tilde{U} \\ -P_{t_1} U \end{bmatrix}$$

пока ничего нам не даст, потому что оператор  $C$  не является сжимающим<sup>3</sup> в метрике  $\rho_2$ . Рассмотрим квадрат оператора  $C$ :

$$C^2 \begin{bmatrix} U \\ \tilde{U} \end{bmatrix} = \begin{bmatrix} P_{t_1} K_2 * G * U \\ P_{t_1} K_2 * G * \tilde{U} \end{bmatrix}.$$

Поскольку он является сжимающим, то ряд Неймана сходится и дает решение уравнений.

Рассмотрим пример ещё одного вида интегральных условий, нелокальных как по времени, так и по пространству, задаваемый формулой

$$u(x_0, t) + \int_0^t \int_{x_0}^{x_1} f(x, t - \tau) u(x, \tau) dx d\tau = \mu(t)$$

с некоторой фиксированной функцией  $f(x, t)$ , которую доопределим нулем при  $t < 0$ . Подставляя вновь решение в виде (4), получим:

$$\begin{aligned} \mu(t) &= U(t) + \tilde{U}(t - t_1) + \int_{x_0}^{x_1} dx \int_{-\infty}^{+\infty} f(x, t - \tau) U(\tau - x^-) d\tau + \int_{x_0}^{x_1} dx \int_{-\infty}^{+\infty} f(x, t - \tau) \tilde{U}(\tau - x^+) d\tau = \\ &= U(t) + \tilde{U}(t - t_1) + \int_{-\infty}^{+\infty} d\tau U(\tau) \int_{x_0}^{x_1} f(x, t - \tau - x^-) dx + \int_{-\infty}^{+\infty} d\tau \tilde{U}(\tau) \int_{x_0}^{x_1} f(x, t - \tau - x^+) dx, \end{aligned}$$

что можно кратко записать как интегральное уравнение Вольтерра второго рода

$$U + P_{t_1} \tilde{U} + U * f_1 + \tilde{U} * f_2 = \mu,$$

приняв обозначения для функций  $f_1$  и  $f_2$  (заметим, что обе равны нулю при отрицательных аргументах):

$$f_1(t) = \int_{x_0}^{x_1} f(x, t - x^-) dx \quad f_2(t) = \int_{x_0}^{x_1} f(x, t - x^+) dx$$

Решение интегрального уравнения Вольтерра второго рода нами уже было разобрано.

## 9 Нелинейные граничные условия

Представленные примеры граничных условий ни в коем случае не претендуют на полноту: читатель может сложить несколько левых частей из приведенных граничных условий и получить новое, а затем исследовать его теми же (или схожими) средствами. Однако во всех примерах фигурируют линейные условия, которыми приложения, увы, не ограничиваются. Например, в статье [14] рассматривается следующее условие с памятью

$$u(x_1, t) + \int_0^t \sigma(u_x(x_1, t)) s(t - \tau) d\tau = \nu(t)$$

<sup>3</sup>Тем не менее, в эквивалентной метрике  $\rho_2^*(x, y) = \rho(x_1, y_1) + e^{t_1/2} \rho(x_2, y_2)$  оператор  $C$  сжимающий, и для решения конкретной задачи этим замечанием можно было ограничиться.

с нелинейной функцией  $\sigma$ , а в статье [15] рассматривается локальное нелинейное условие

$$u_x(x_1, t) = |u(x_1, t)|^\alpha u(x_1, t) \quad (18)$$

с положительным коэффициентом  $\alpha$ . Рассмотрев произвольное граничное условие и подставив в него представление решения в виде бегущих волн, мы получим некоторое уравнение (линейное, дифференциальное, интегро-дифференциальное и т. п.). Не вдаваясь в природу этого уравнения, потребуем, чтобы оно было разрешимо для левого граничного условия относительно  $U$  при известном  $\tilde{U}$ , а для правого — относительно  $\tilde{U}$  при известном  $U$ , при этом решения задаются (вообще говоря нелинейными) операторами  $C_1$  и  $C_2$ .

$$U = C_1(\tilde{U}, \mu) \quad \tilde{U} = C_2(U, \nu)$$

Второе требование состоит в том, чтобы операторы  $C_1$  и  $C_2$  не выводили функции из допустимого для них класса (например, для классического решения бегущие волны дважды непрерывно дифференцируемы). Для физически осмысленных граничных условий операторы  $C_1$  и  $C_2$  не увеличивают расстояние  $\rho$ , т.е.

$$\rho(C_1(f, \mu), C_1(g, \mu)) \leq \rho(f, g) \quad \rho(C_2(f, \nu), C_2(g, \nu)) \leq \rho(f, g),$$

поскольку при  $f, g$ , совпадающих на полуоси  $(-\infty, t]$ , функции  $C_1(f, \mu)$ ,  $C_1(g, \mu)$  также должны совпадать на этой полуоси (аналогично для  $C_2$ ). Противное означало бы использование «данных из будущего». Поскольку операторы не являются линейными, вместо (во многих отношениях более удобного) ряда Неймана ответ будет записываться как предел итерационной последовательности с нововведенным оператором  $C$ :

$$\begin{bmatrix} U_{n+1} \\ \tilde{U}_{n+1} \end{bmatrix} = C \left( \begin{bmatrix} U_n \\ \tilde{U}_n \end{bmatrix}, \begin{bmatrix} \mu \\ \nu \end{bmatrix} \right) = \begin{bmatrix} C_1(\tilde{U}_n, \mu) \\ C_2(U_n, \nu) \end{bmatrix}$$

и с произвольными начальными данными  $U_1, \tilde{U}_1$ .

Если же хотя бы один из операторов является сжимающим (это довольно частая ситуация, как мы видели), то, рассуждая как в предыдущей части, можно показать, что итерационная последовательность будет сходиться к решению. При этом, если нас интересует решение на отрезке  $[0, T]$ , мы сможем ограничиться конечным числом итераций, которое несложно оценить.

## 10 Вычислительные аспекты

Уже упоминалось, что в частных случаях полученные формулы дают алгоритм, который может вычислить точно  $u(x, t)$ , или, что то же самое, вычислить  $U(t - x^-)$  и  $\tilde{U}(t - x^+)$ . В более общем случае линейных условий решение, как мы помним, записывается в виде ряда Неймана, из которого нас интересуют только первые  $M$  членов.

$$\begin{bmatrix} U \\ \tilde{U} \end{bmatrix} = \sum_{m=0}^M C^m \begin{bmatrix} \mu \\ \nu \end{bmatrix}$$

Фигурирующий оператор  $C$  хоть и линеен, но нетривиален. Разумеется, можно последовательно вычислять слагаемые ряда в правой части, однако, скажем, многократное вычисление свертки вряд ли можно назвать эффективным решением, тем более для такой простой задачи. Как демонстрировалось в частных случаях, более простой способ состоит в численном решении промежуточных соотношений на  $U$  и  $\tilde{U}$ .

Например, для граничных условий первого и второго рода наиболее просто использовать уравнения (5), и одновременно вычислять функции  $U$  и  $\tilde{U}$  с шагом  $\tau$ , при этом величины в правых частях, например  $\tilde{U}(t - t_1)$ , могут быть получены при помощи аппроксимации по нескольким ближайшим

узлам на основе многочленов Лагранжа, точно так же проводятся вычисления для приведенных нами примеров нелокальных точечных граничных условий. В более сложных случаях, когда промежуточные соотношения на функции  $U$  и  $\tilde{U}$  являются дифференциальными уравнениями, ответ находится при помощи их численного решения, при этом правые части восстанавливаются при помощи интерполяции. Этот подход работает при граничном условии с точечной массой, с граничными условиями третьего рода, но самое ценное — он не завязан на конкретный вид дифференциальных уравнений и потому также может быть применен при нелинейных граничных условиях, как например (18). Справедливости ради надо заметить, что решали линейные дифференциальные уравнения мы не зря: вычисление свертки с экспонентой можно провести эффективно и при этом с меньшей погрешностью.

Ситуация с интегральными уравнениями несколько сложнее, в отличие от сверток с экспонентой, произвольные свертки вычисляются, например, при помощи преобразования Фурье, что и медленнее, и менее точно. Усугубляет ситуацию необходимость считать свертку для каждого слагаемого. На самом деле эти проблемы решаются одновременно при помощи перехода к преобразованию Фурье или Лапласа, когда в качестве промежуточной задачи мы ставим вычисление функций-образов  $L[U](p)$ ,  $L[\tilde{U}](p)$ . Как это часто случается в физике, уравнения с запаздыванием, дифференциальные уравнения, уравнения с разностным ядром в терминах образов превращаются в простые алгебраические уравнения.

## 11 Заключение

Отметим, что все результаты, изложенные в статье, опираются на замечательное свойство (4) решений волнового уравнения.

Мощности современной вычислительной техники таковы, что одномерное волновое уравнение вряд ли может представлять для неё какую-то сложность. Тем не менее, последнее часто выступает в статьях в роли «пробного камня» для демонстрации различных идей: убывания решения, свойств какого-то граничного условия и т.п. В терминах бегущих волн подобные рассуждения обычно проводятся значительно проще, часто при этом возможно даже решить задачу аналитически. Автор надеется, что прием, описанный в статье, войдет в арсенал читателя наравне с часто применяемым рядом Фурье.

Эффективные алгоритмы приближенного решения являются приятным дополнением, и возможно пригодятся при численных экспериментах.

## Список литературы

- [1] *Бицадзе А. В., Самарский А. А.* О некоторых простейших обобщениях линейных эллиптических краевых задач // Доклады АН СССР — 1969. — Т. 185, № 4 — С. 739–740.
- [2] *Ильин В. А., Моисеев Е. И.* Оптимизация граничных управлений колебаниями струны // Успехи математических наук — 2005. — Т. 60, № 6 — С. 89–114.
- [3] *Кулешов А. А.* Смешанные задачи для уравнения колебаний струны с однородными граничными и неоднородными нелокальными условиями // Дифференциальные уравнения — 2010. — Т. 46, № 1 — С. 98–104.
- [4] *Моисеев Е. И., Тихомиров В. В.* О волновом процессе с конечной энергией при заданном граничном режиме на одном конце и упругом закреплении на другом конце // Нелинейная динамика и управление, — 2007. — Т. 5 — С. 141–148.
- [5] *Нахушев А. М.* Уравнения математической биологии. — М.: Высш. шк., 1995. — 301 с. — ISBN 5-06-002670-1

- [6] *Нестеренко Ю. Р.* О смешанной задаче для волнового уравнения с краевыми условиями третьего рода // Доклады Академии наук — 2009. — Т. 426, № 1 — С. 29–31.
- [7] *Никитин А. А., Кулешов А. А.* Оптимизация граничного управления, производимого третьим краевым условием // Дифференциальные уравнения — 2008. — Т. 44, № 5 — С. 681–690.
- [8] *Пулькина Л. С.* Смешанная задача с интегральным условием для гиперболического уравнения // Математические заметки — 2003. — Т. 74, № 3 — С. 435–445.
- [9] *Рогожников А. М.* Исследование смешанной задачи, описывающей процесс колебаний стержня, состоящего из нескольких участков с произвольными длинами // Доклады Академии Наук — 2012. — Т. 444, № 5 — С. 488–491.
- [10] *Рогожников А. М.* Смешанная задача о возбуждении колебаний в составном стержне с присоединенными точечными массами // Доклады Академии Наук — 2013. — Т. 450, № 4 — С. 389–392.
- [11] *Рогожников А. М.* Оптимальное управление продольными колебаниями составных стержней с равным временем прохождения волны по каждому из участков // Дифференциальные уравнения — 2013. — Т. 49, № 5 — С. 633–642.
- [12] *Тихонов А. Н., Самарский А. А.* Уравнения математической физики. — М.: Изд-во Моск. ун-та, 1999. — 799 с. — ISBN 5-211-04138-0.
- [13] *Chen G., Hsu S., Zhou J.* Snapback repellers as a cause of chaotic vibration of the wave equation with a van der Pol boundary condition and energy injection at the middle of the span // Journal of Mathematical Physics — 1998. — vol. 39 — P. 6459–6489.
- [14] *Rivera J., Andrade D.* Exponential decay of non-linear wave equation with a viscoelastic boundary condition // Mathematical Methods in the Applied Sciences — 2000. — vol. 23, № 1 — P. 41–61.
- [15] *Vitillaro E.* Global existence for the wave equation with nonlinear boundary damping and source terms // Journal of Differential Equations — 2002. — vol. 186, №1 — P. 259–298.